

GEBÖRDELTE TRAGROLLEN

Stahlrollen mit gefetteten und geschützten Radialkugellagern. Der Rollenmantel besteht aus Präzisionsstahlrohr und gebördelten Rollenböden.

Sie werden für Schwerkraft- und angetriebene Rollenbahnen mit mittlerer bis schwerer Belastung und mittlerer Geschwindigkeit, bei normalen Umweltbedingungen eingesetzt.

Andere Ausstattungen und Befestigungsarten siehe Seite 12-17 und 29.

RODILLOS PRENSADOS

Rodillos de acero montados sobre cojinetes radiales de bolas engrasados y protegidos.

El cuerpo del rodillo está compuesto por tubo de gran espesor y cabezales porta-cojintes firmemente prensados.

Se emplean en los transportadores por gravedad y motorizados con cargas medianas-pesadas, velocidades medianas, en condiciones ambientales normales.

Otras formas de acabado y de sujeción ver págs. 12-17 y 29.

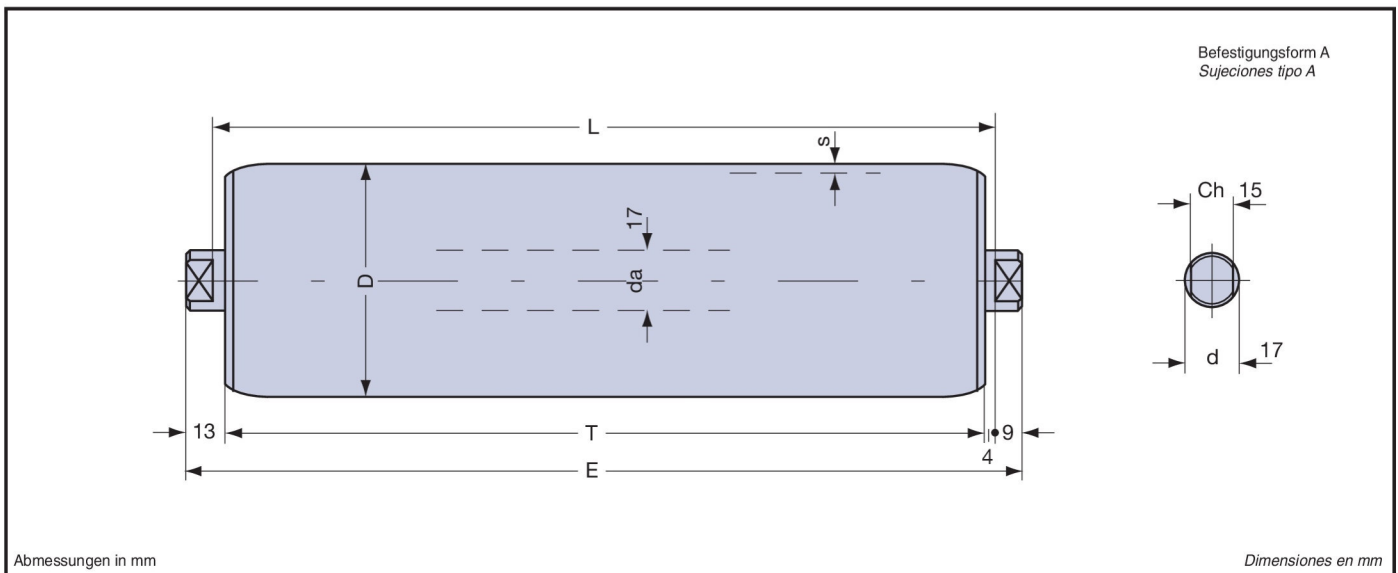


Tabelle 54 **GRUNDROLLEN SERIE 17.1.0 SERIE RODILLOS BASE 17.1.0** Tabla 54

Typ tipo	D	s	T	E	Kugellager cojinete	T		Gesamtgewicht Rolle kg peso total rodillo kg		Gewicht drehender Teile kg peso partes rodantes kg		Höchstbelastung Cs carga máx Cs n = 10 [1/min]
						min.	max.	T=200	mehr pro cm más por cm	T=200	mehr pro cm más por cm	
17.1.0.9	60	3	L-8	L+18	Radial radial	80	2000	1,513	0,0600	1,053	0,0422	daN 320
17.1.0.10	76							1,814	0,0718	1,354	0,0540	
17.1.0.11	89							2,048	0,0814	1,589	0,0636	

Tabelle 55 **Cd Dynamische Belastung der Tragrollen in Bezug auf die Anlagegeschwindigkeit carga dinámica del rodillo en función de la velocidad de transporte** Tabla 55

v = m/s Anlagegeschwindigkeit velocidad del transportador										
v	0,10	0,15	0,20	0,25	0,50	0,75	1,00	1,25	1,50	
D	Cd = daN = kgf									
60	192	167	148	134	102	84	69	60	49	
76	212	182	164	146	115	96	82	74	66	
89	231	194	177	155	126	101	87	79	70	

Tabelle 56 **Kr Reduktionskoeffizient der Belastung Cd, Cs in Bezug auf die Rollenlänge coeficiente de reducción de la carga Cd, Cs en función de la longitud del rodillo** Tabla 56

Länge longitud	T=mm	300	400	500	600	700	800	1000	1200	1400
Kr		1	1	1	1	1	1	0,996	0,912	0,885